



گر همچو من افتاده‌ی این دام شوی
ای بس که خراب باده و جام شوی
ماشیق و زند و مست و عالم سوزیم
باما شین اگر نه بد نام شوی

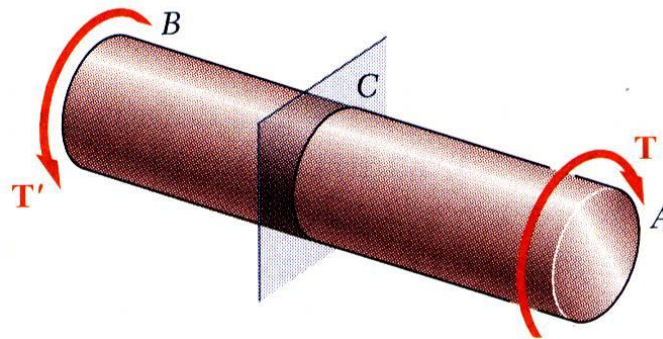


فصل سوم: پیچش

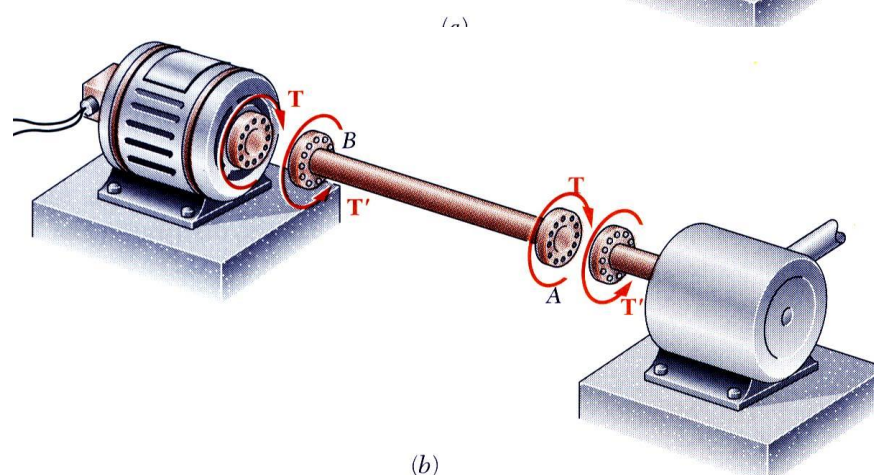
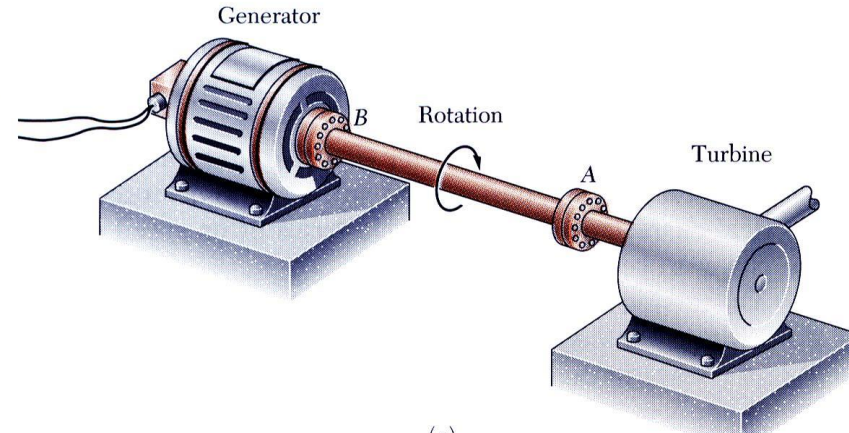
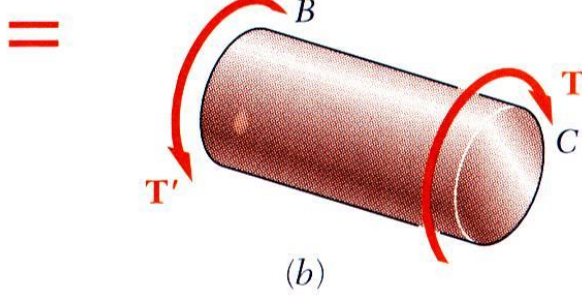
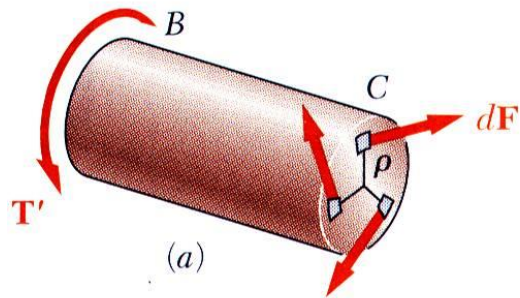
Torsion

اکبر اقبالی

پیچش



$$T = \int \rho dF = \int \rho(\tau dA)$$



پیچش

تغییر شکل

کرنش برنشی

موزه الستیک

زاویه پیچش

طرامی ممکن

موزه پلاستیک

مباهث تكميلی

پیمش

تغییر شکل

کرنش برشی

موزه االاستیک

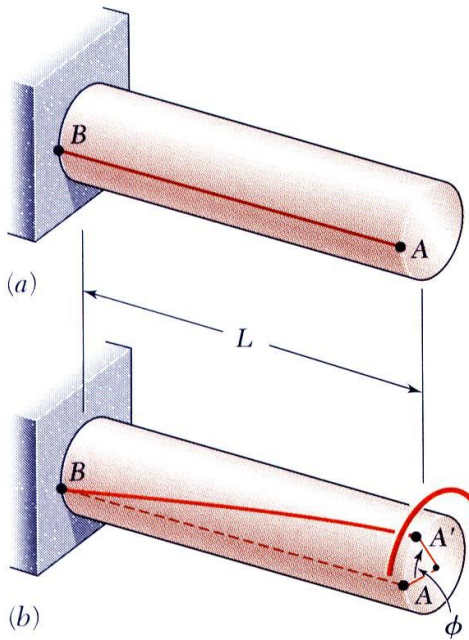
زاویه پیمش

طرامی معمور

موزه پلاستیک

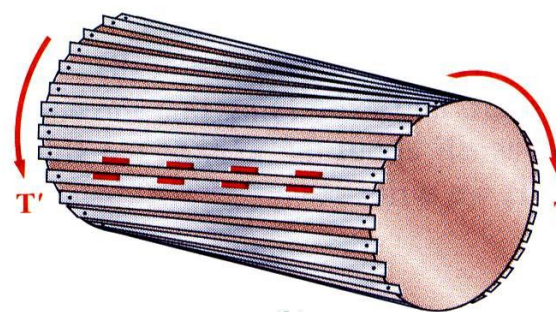
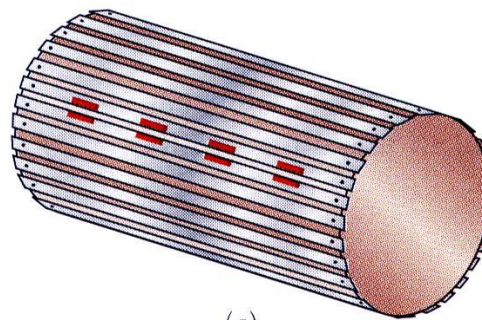
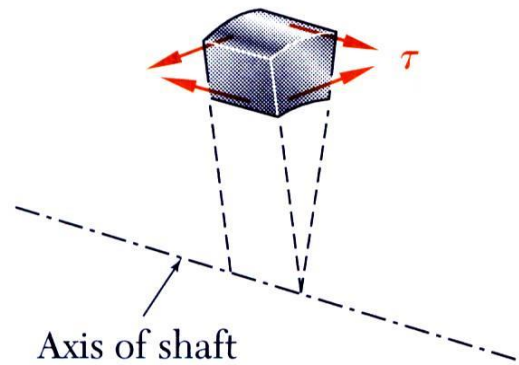
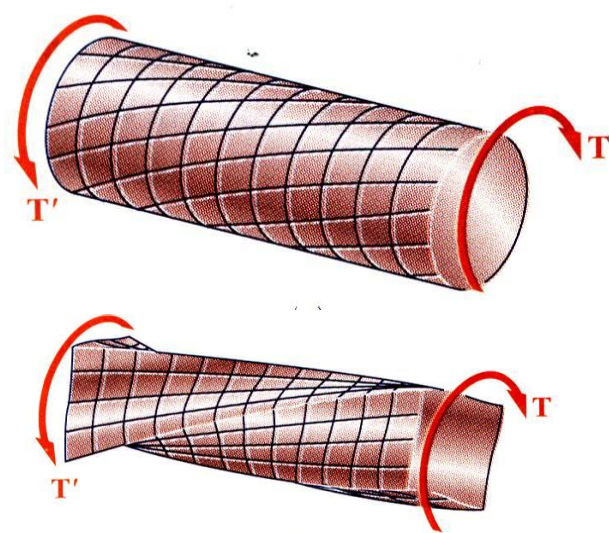
مباهث تكميلی

تغییر شکل

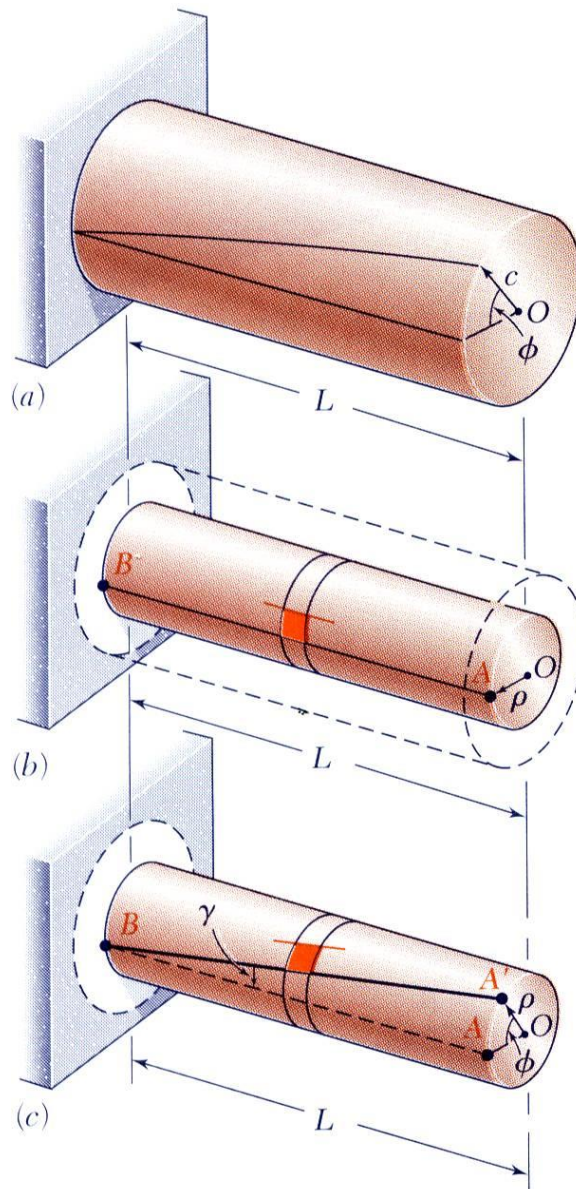


$$\phi \propto T$$

$$\phi \propto L$$



گرنش برشا



$$L\gamma = \rho\phi \quad \text{or} \quad \gamma = \frac{\rho\phi}{L}$$

$$\gamma_{\max} = \frac{c\phi}{L} \quad \text{and} \quad \gamma = \frac{\rho}{c} \gamma_{\max}$$



پیمایش

تغییر شکل

گرنش برشا

محوزه الاستیک

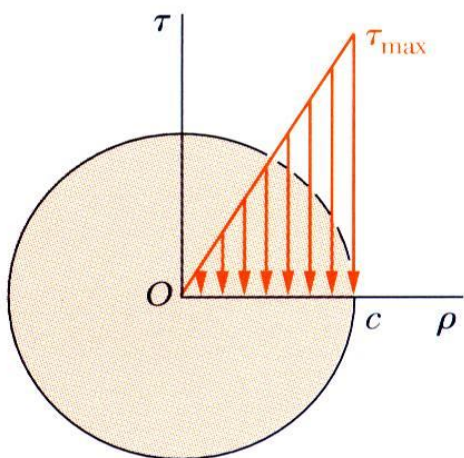
زاویه پیمایش

طراحی محدود

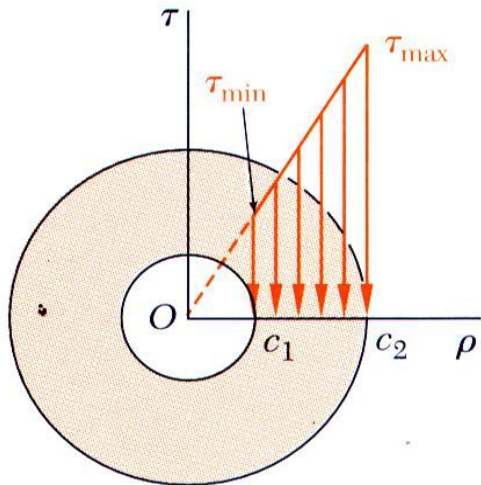
محوزه پلاستیک

مباهث تکمیلی

گرنش برشی در مهندسی آلستیک



$$J = \frac{1}{2} \pi c^4$$



$$J = \frac{1}{2} \pi (c_2^4 - c_1^4)$$

$$\tau = \frac{\rho}{c} \tau_{\max}$$



$$\tau = G\gamma$$

$$T = \int \rho \tau \, dA = \frac{\tau_{\max}}{c} \int \rho^2 \, dA = \frac{\tau_{\max}}{c} J$$

$$\tau_{\max} = \frac{Tc}{J} \quad \text{and} \quad \tau = \frac{T\rho}{J}$$



پیماش

تغییر شکل

گرنش برشی

موزه الاستیک

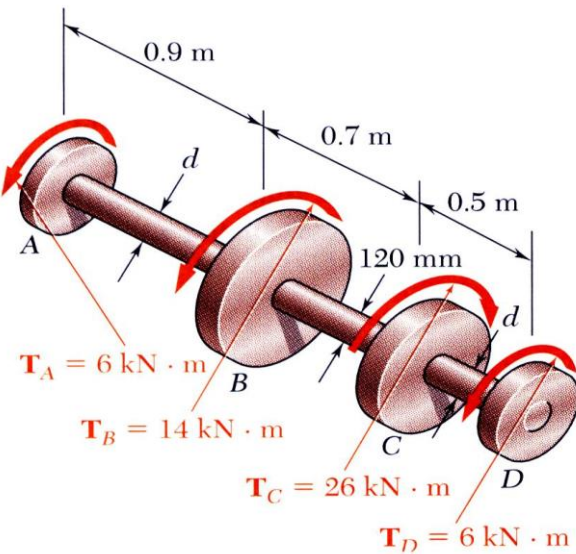
زاویه پیماش

طراحی محدود

موزه پلاستیک

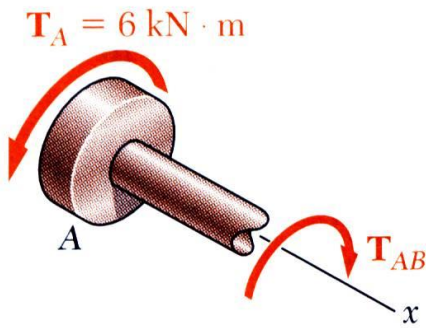
مباهث تكميلی

مثال



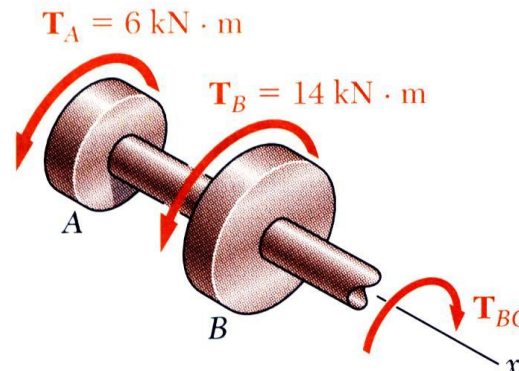
Shaft BC: $D_i=90\text{mm}$ and $D_o=120\text{mm}$, Shafts AB & CD: solid of diameter d .

- The min. and max. SS in shaft BC,
- The required d for SS of 65 MPa.



$$\sum M_x = 0 = (6 \text{ kN} \cdot \text{m}) - T_{AB}$$

$$T_{AB} = 6 \text{ kN} \cdot \text{m} = T_{CD}$$



$$\sum M_x = 0 = (6 \text{ kN} \cdot \text{m}) + (14 \text{ kN} \cdot \text{m}) - T_{BC}$$

$$T_{BC} = 20 \text{ kN} \cdot \text{m}$$

پیماش

تغییر شکل

کرنش برنشی

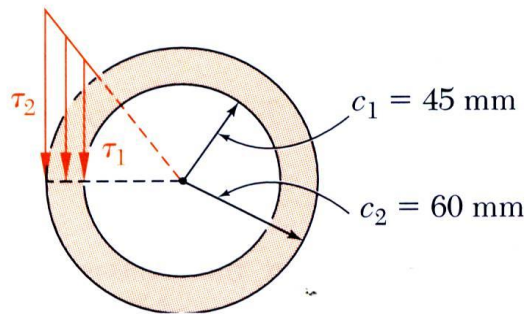
موزه ااستیک

زاویه پیماش

طرامی معمور

موزه پلاستیک

مباهث تكميلی



$$J = \frac{\pi}{2} \left(c_2^4 - c_1^4 \right) = \frac{\pi}{2} \left[(0.060)^4 - (0.045)^4 \right]$$

$$= 13.92 \times 10^{-6} \text{ m}^4$$

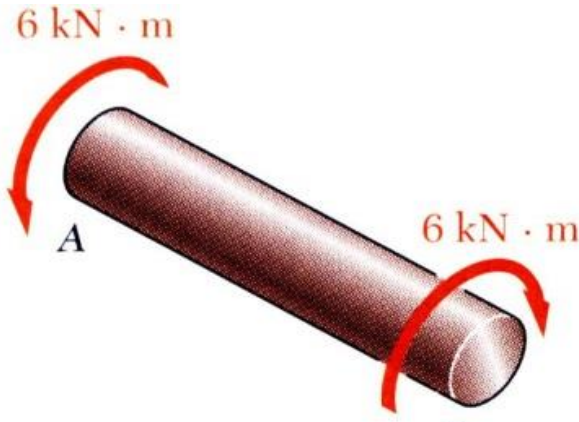
$$\tau_{\max} = \tau_2 = \frac{T_{BC}c_2}{J} = \frac{(20\text{kN}\cdot\text{m})(0.060\text{m})}{13.92 \times 10^{-6} \text{m}^4} = 86.2 \text{ MPa}$$

$$\frac{\tau_{\min}}{\tau_{\max}} = \frac{c_1}{c_2} \quad \frac{\tau_{\min}}{86.2 \text{ MPa}} = \frac{45 \text{ mm}}{60 \text{ mm}}$$

$$\tau_{\min} = 64.7 \text{ MPa}$$

$$\tau_{\max} = 86.2 \text{ MPa}$$

$$\tau_{\min} = 64.7 \text{ MPa}$$



$$\tau_{\max} = \frac{Tc}{J} = \frac{Tc}{\frac{\pi}{2} c^4}$$

$$65MPa = \frac{6\text{ kN} \cdot \text{m}}{\frac{\pi}{2} c^3}$$

$$c = 38.9 \times 10^{-3} \text{ m}$$

$$d = 2c = 77.8 \text{ mm}$$

پیش

تغییر شکل

کرسش پرشی

موزه الاسنی

زاویہ پیغمبر

طراحی معمور

موزه پلاستیک

میامث تکمیلی

زاویه پیچش در متفاوتانه الاستیک



پیچش

تغییر شکل

کرنش برشی

موزه الاستیک

زاویه پیچش

طرامی معمول

موزه پلاستیک

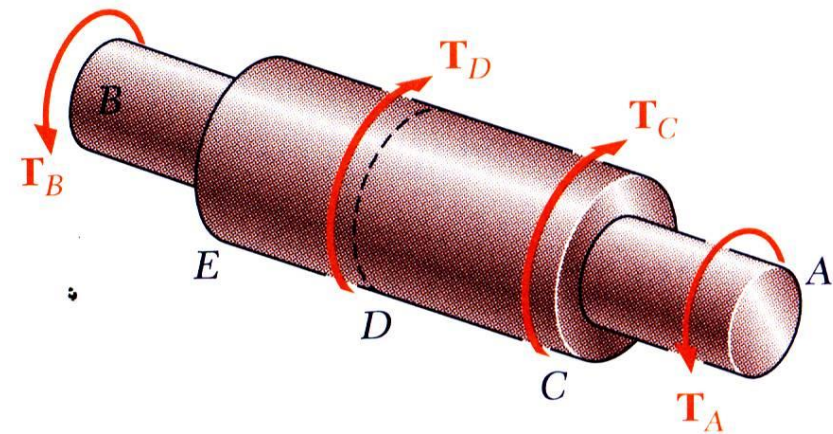
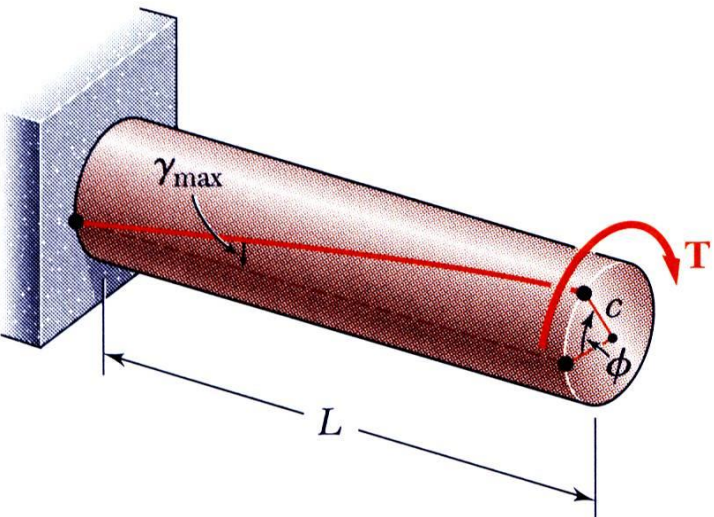
مباهث تكميلی

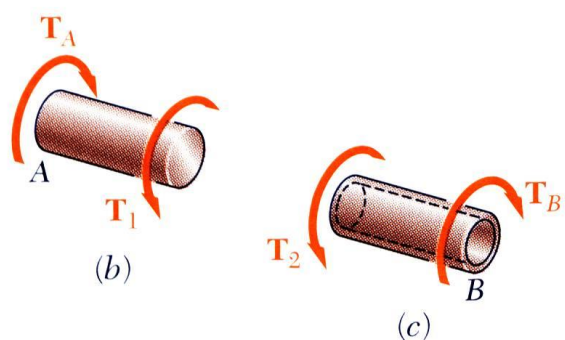
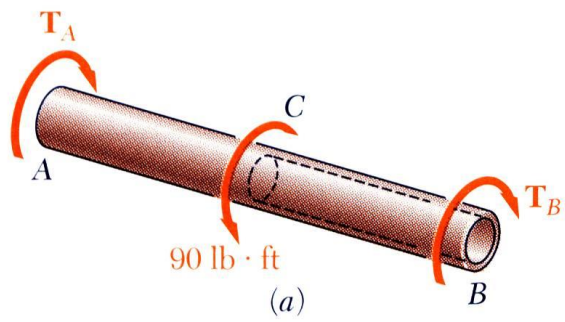
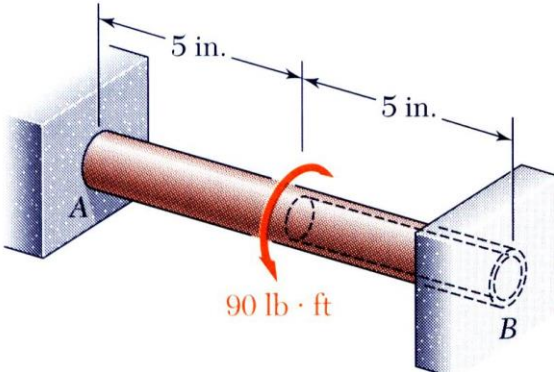
$$\gamma_{\max} = \frac{c\phi}{L}$$

$$\tau_{\max} = \frac{Tc}{J} \quad \rightarrow \quad \phi = \frac{TL}{JG}$$

$$\tau_{\max} = G\gamma_{\max}$$

$$\phi = \sum_i \frac{T_i L_i}{J_i G_i}$$





$$T_A + T_B = 90 \text{ lb} \cdot \text{ft}$$

$$\phi = \phi_1 + \phi_2 = 0$$

$$\phi = \frac{T_A L_1}{J_1 G} - \frac{T_B L_2}{J_2 G} = 0$$

$$T_B = \frac{L_1 J_2}{L_2 J_1} T_A$$

$$T_A + \frac{L_1 J_2}{L_2 J_1} T_A = 90 \text{ lb} \cdot \text{ft}$$

پیماش

تغییر شکل

کرنش برنشی

موزه الاستیک

زاویه پیماش

طرامی معمول

موزه پلاستیک

مباهث تکمیلی

پیمش

تغییر شکل

کرنش برشی

موزه االاستیک

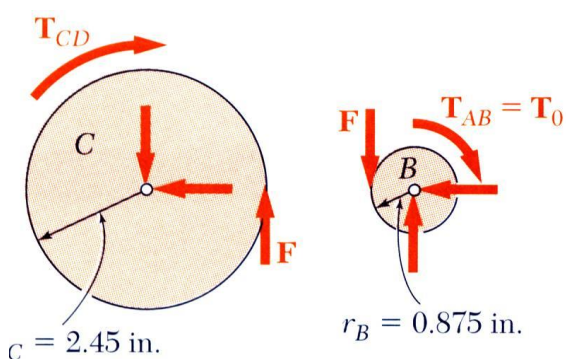
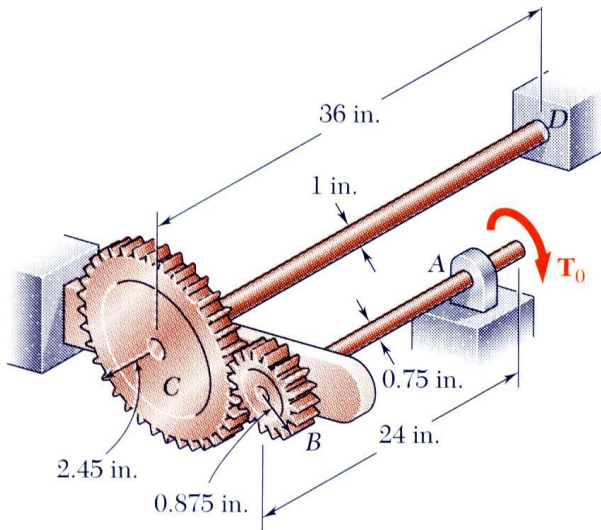
زاویه پیمش

طراحی معمول

موزه پلاستیک

مباهث تكميلی

مثال



$$\sum M_B = 0 = F(0.875 \text{ in.}) - T_0$$

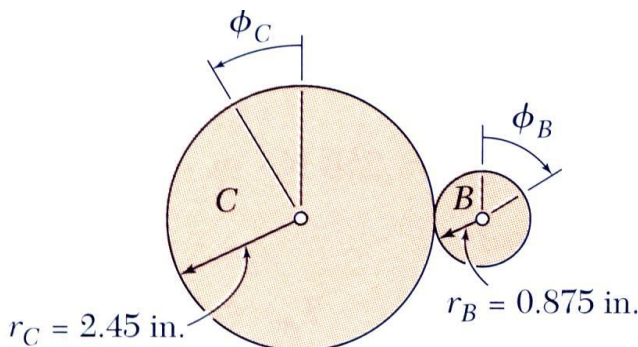
$$\sum M_C = 0 = F(2.45 \text{ in.}) - T_{CD}$$

$$T_{CD} = 2.8T_0$$

$$G = 11.2 \times 10^6 \text{ psi}$$

The allowable shearing stress is 8 ksi,

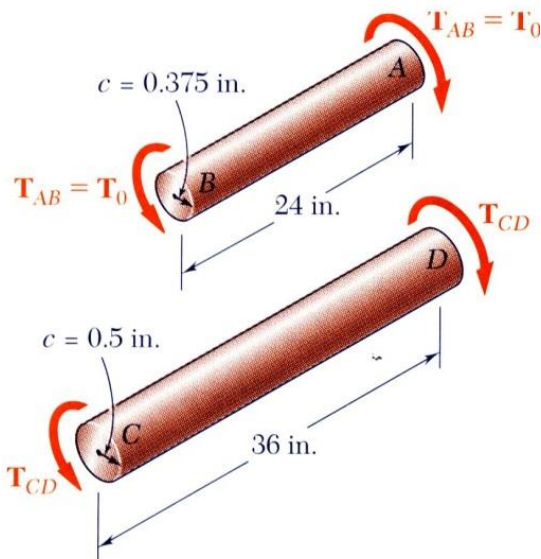
- (a) the largest T_o of shaft AB,
- (b) The corresponding angle A.



$$r_B \phi_B = r_C \phi_C$$

$$\phi_B = \frac{r_C}{r_B} \phi_C = \frac{2.45 \text{ in.}}{0.875 \text{ in.}} \phi_C$$

$$\phi_B = 2.8 \phi_C$$



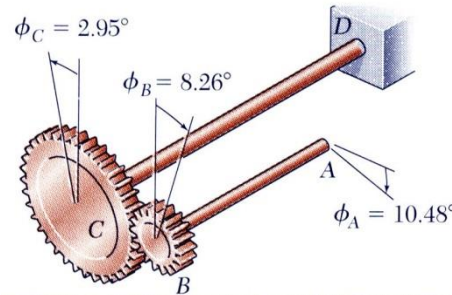
$$\tau_{\max} = \frac{T_{AB}c}{J_{AB}} \quad 8000 \text{ psi} = \frac{T_0(0.375 \text{ in.})}{\frac{\pi}{2}(0.375 \text{ in.})^4}$$

$$T_0 = 663 \text{ lb} \cdot \text{in.}$$

$$\tau_{\max} = \frac{T_{CD}c}{J_{CD}} \quad 8000 \text{ psi} = \frac{2.8T_0(0.5 \text{ in.})}{\frac{\pi}{2}(0.5 \text{ in.})^4}$$

$$T_0 = 561 \text{ lb} \cdot \text{in.}$$

$$T_0 = 561 \text{ lb} \cdot \text{in.}$$



$$\phi_{A/B} = \frac{T_{AB}L}{J_{AB}G} = \frac{(561 \text{ lb} \cdot \text{in.})(24 \text{ in.})}{\frac{\pi}{2}(0.375 \text{ in.})^4 (11.2 \times 10^6 \text{ psi})}$$

$$= 0.387 \text{ rad} = 2.22^\circ$$

$$\phi_{C/D} = \frac{T_{CD}L}{J_{CD}G} = \frac{2.8(561 \text{ lb} \cdot \text{in.})(24 \text{ in.})}{\frac{\pi}{2}(0.5 \text{ in.})^4 (11.2 \times 10^6 \text{ psi})}$$

$$= 0.514 \text{ rad} = 2.95^\circ$$

$$\phi_B = 2.8\phi_C = 2.8(2.95^\circ) = 8.26^\circ$$

$$\phi_A = \phi_B + \phi_{A/B} = 8.26^\circ + 2.22^\circ$$

$$\phi_A = 10.48^\circ$$



پیماش

تغییر شکل

کرنش برشی

موزه الاستیک

زاویه پیماش

طرامی معمور

موزه پلاستیک

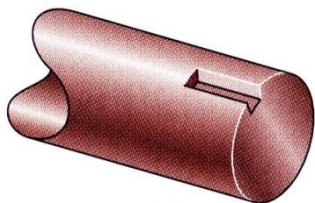
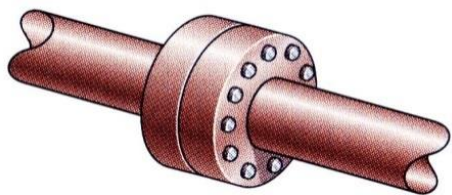
مباهث تكميلی

طراحی محور

$$\tau_{\max} = \frac{Tc}{J}$$

$$\frac{J}{c} = \frac{\pi}{2} c^3 = \frac{T}{\tau_{\max}} \quad (\text{solid shafts})$$

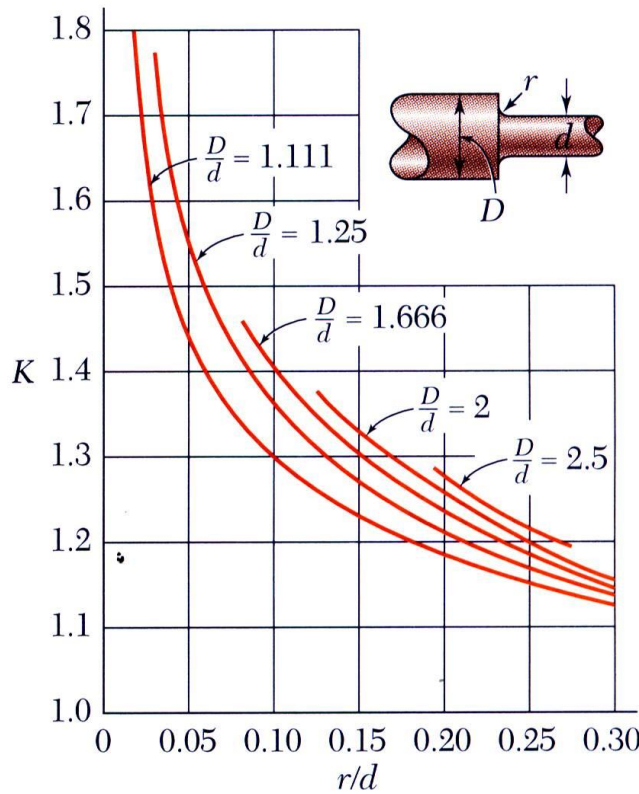
$$\frac{J}{c_2} = \frac{\pi}{2c_2} \left(c_2^4 - c_1^4 \right) = \frac{T}{\tau_{\max}} \quad (\text{hollow shafts})$$



$$\tau_{\max} = \frac{Tc}{J} \quad \tau_{\max} = K \frac{Tc}{J}$$

$$P = T\omega = 2\pi f T \quad \text{سرعت}$$

$$T = \frac{P}{\omega} = \frac{P}{2\pi f} \quad \text{قدرت}$$



پیمش

تغییر شکل

کرنش برشی

موزه الستیک

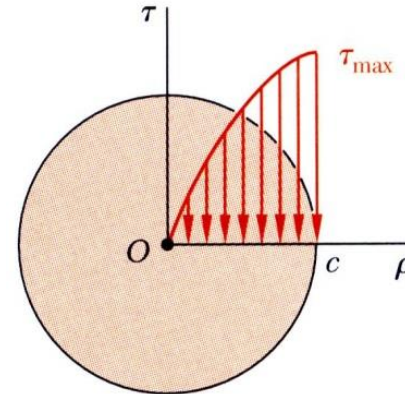
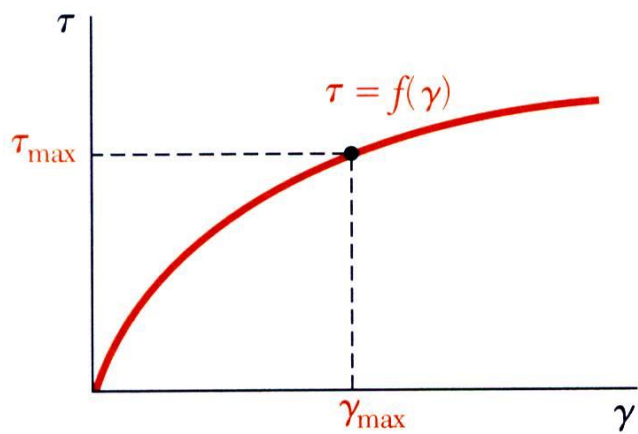
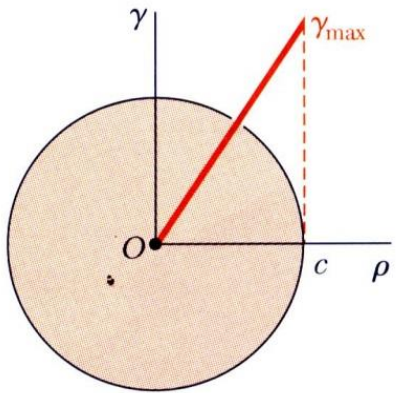
زاویه پیمش

طراحی محور

موزه پلاستیک

مباهث تكميلی

تغییر شکل پلاستیک



$$\tau_{\max} = \frac{Tc}{J}$$

$$T = \int_0^c \rho \tau (2\pi \rho d\rho) = 2\pi \int_0^c \rho^2 \tau d\rho$$



پیمش

تغییر شکل

کرنش برشی

موزه الاستیک

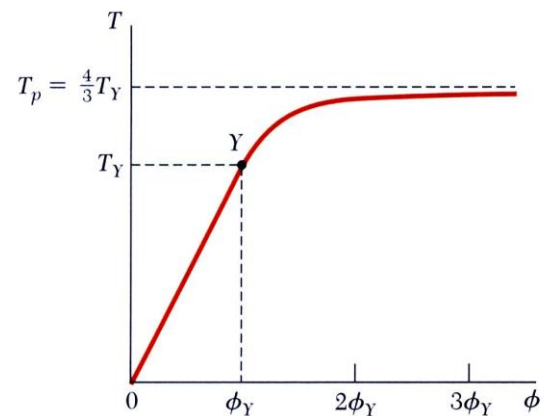
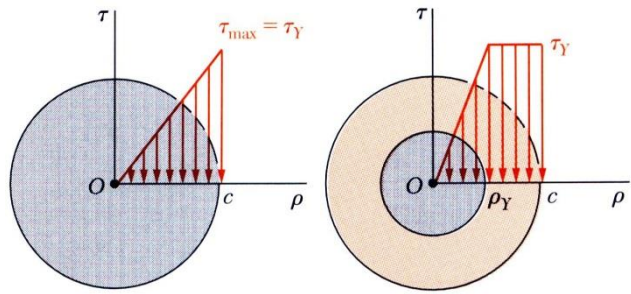
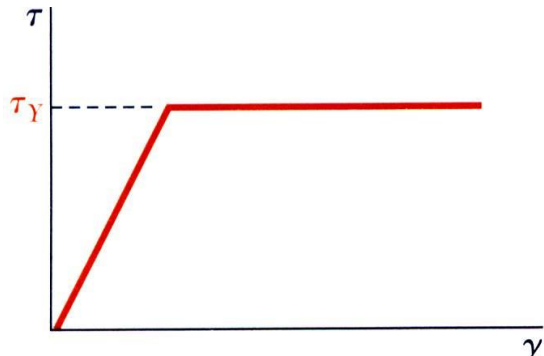
زاویه پیمش

طراحی محدود

موزه پلاستیک

مباهث تکمیلی

موجات الاستوپلاستیک



At the maximum elastic torque,

$$T_Y = \frac{J}{c} \tau_Y = \frac{1}{2} \pi c^3 \tau_Y \quad \phi_Y = \frac{L \gamma_Y}{c}$$

As the torque is increased, a plastic region develops around an elastic core ($\tau = \frac{\rho}{\rho_Y} \tau_Y$)

$$\rho_Y = \frac{L \gamma_Y}{\phi}$$

$$T = \frac{2}{3} \pi c^3 \tau_Y \left(1 - \frac{1}{4} \frac{\rho_Y^3}{c^3} \right) = \frac{4}{3} T_Y \left(1 - \frac{1}{4} \frac{\rho_Y^3}{c^3} \right)$$

$$T = \frac{4}{3} T_Y \left(1 - \frac{1}{4} \frac{\phi_Y^3}{\phi^3} \right)$$

As $\rho_Y \rightarrow 0$, the torque approaches a limiting value,

$$T_P = \frac{4}{3} T_Y = \text{plastic torque}$$



پیماس

تغییر شکل

گرنش برشی

موزه الاستیک

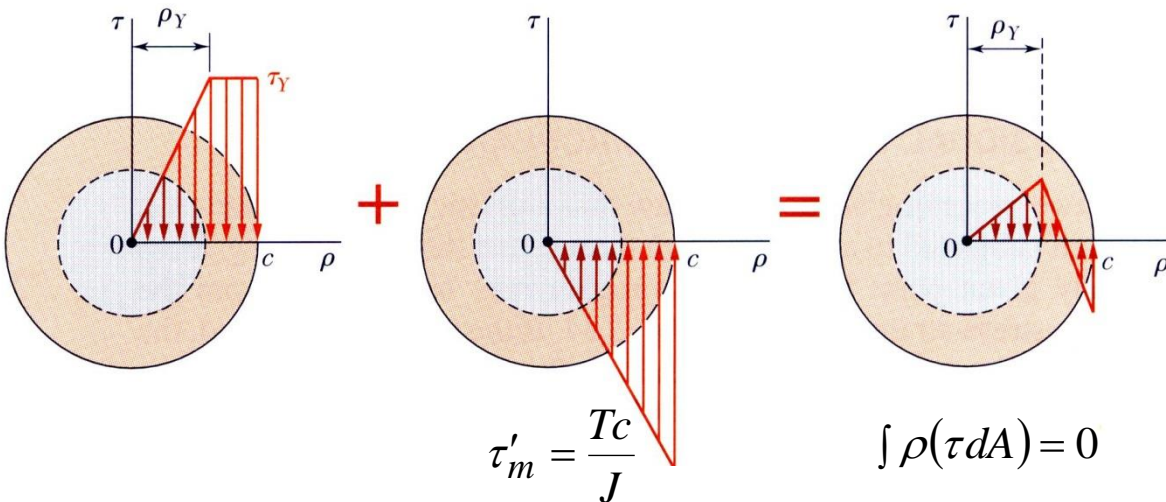
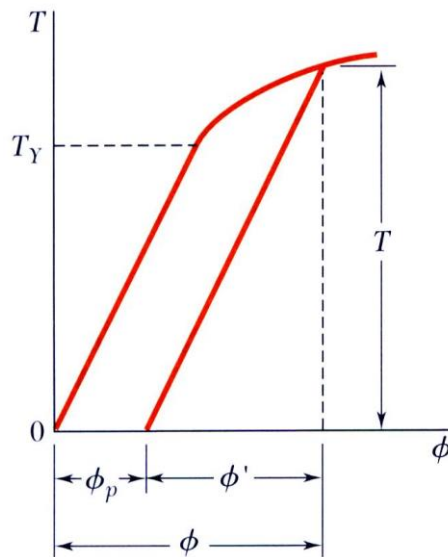
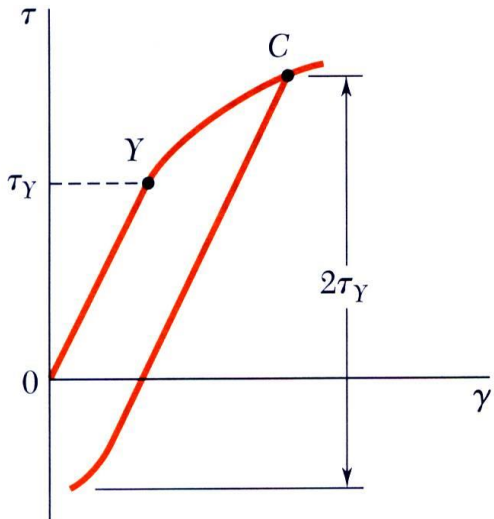
زاویه پیماس

طراحی معمول

موزه پلاستیک

مباهث تکمیلی

تنش های با قیمتازده



پیمش

تحبیر شکل

کرنش برشی

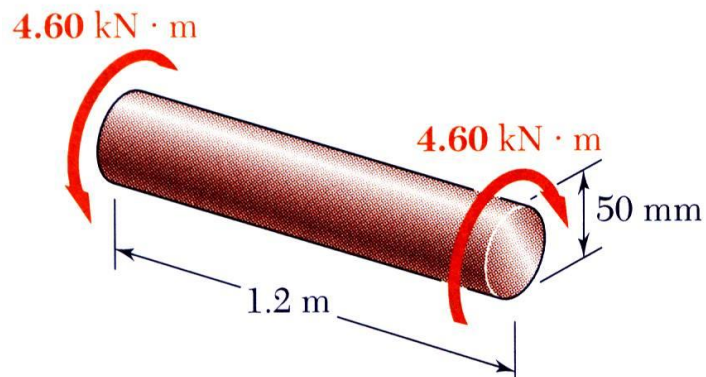
موزه الاستیک

زاویه پیمش

طراحی محدود

موزه پلاستیک

مباهث تکمیلی



Elastoplastic material with $\tau_Y = 150 \text{ MPa}$

- (a) The radius of the elastic core,
- (b) The angle of twist. $G = 77 \text{ GPa}$
- (c) The permanent twist,
- (d) The distribution of residual stresses.

$$T = \frac{4}{3} T_Y \left(1 - \frac{1}{4} \frac{\rho_Y^3}{c^3} \right) \Rightarrow \frac{\rho_Y}{c} = \left(4 - 3 \frac{T}{T_Y} \right)^{1/3}$$

$$J = \frac{1}{2} \pi c^4 = \frac{1}{2} \pi (25 \times 10^{-3} \text{ m})^4 = 614 \times 10^{-9} \text{ m}^4$$

$$\tau_Y = \frac{T_Y c}{J} \Rightarrow T_Y = \frac{\tau_Y J}{c}$$

$$T_Y = \frac{(150 \times 10^6 \text{ Pa})(614 \times 10^{-9} \text{ m}^4)}{25 \times 10^{-3} \text{ m}} = 3.68 \text{ kN} \cdot \text{m}$$

$$\frac{\rho_Y}{c} = \left(4 - 3 \frac{4.6}{3.68} \right)^{1/3} = 0.630 \quad \rho_Y = 15.8 \text{ mm}$$

$$\frac{\phi}{\phi_Y} = \frac{\rho_Y}{c} \Rightarrow \phi = \frac{\phi_Y}{\rho_Y/c}$$

$$\phi_Y = \frac{T_Y L}{JG} = \frac{(3.68 \times 10^3 \text{ N})(1.2 \text{ m})}{(614 \times 10^{-9} \text{ m}^4)(77 \times 10 \text{ Pa})}$$

$$\phi_Y = 93.4 \times 10^{-3} \text{ rad}$$

$$\phi = \frac{93.4 \times 10^{-3} \text{ rad}}{0.630} = 148.3 \times 10^{-3} \text{ rad}$$

$$\phi = 8.50^\circ$$

پیماش

تغییر شکل

کرنش برشی

موزه الاستیک

زاویه پیماش

طراحی معمول

موزه پلاستیک

مباهث تکمیلی

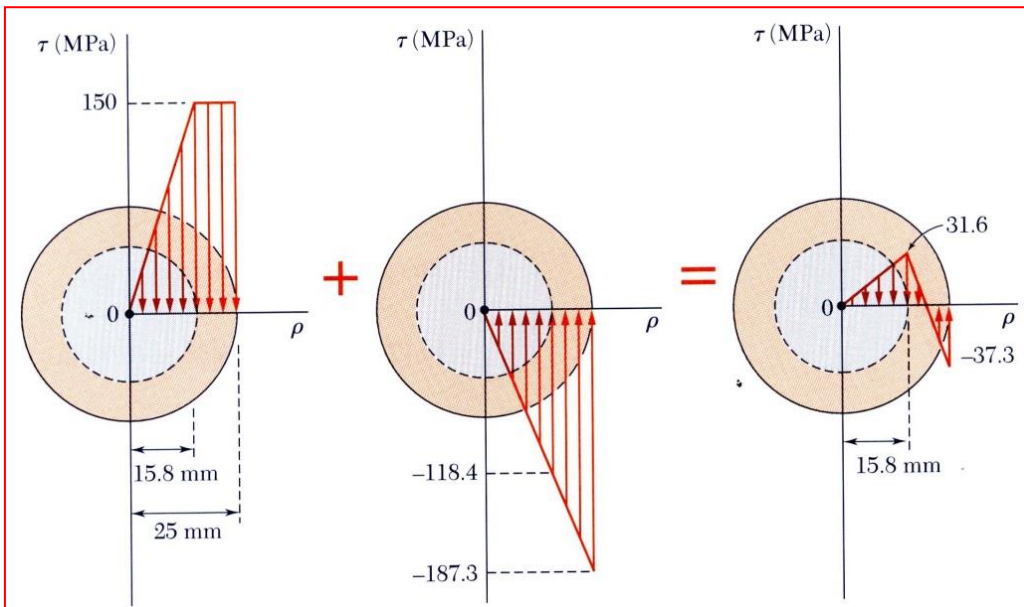
مئاد

Evaluate Eq. (3.16)

$$\phi' = \frac{TL}{JG} = \frac{(4.6 \times 10^3 \text{ N} \cdot \text{m})(1.2 \text{ m})}{(6.14 \times 10^9 \text{ m}^4)(77 \times 10^9 \text{ Pa})} = 116.8 \times 10^{-3} \text{ rad}$$

$$\varphi_p = \phi - \phi' = (116.8 \times 10^{-3} - 116.8 \times 10^{-3}) \text{ rad} = 1.81^\circ$$

$$\tau'_{\max} = \frac{Tc}{J} = \frac{(4.6 \times 10^3 \text{ N} \cdot \text{m})(25 \times 10^{-3} \text{ m})}{614 \times 10^{-9} \text{ m}^4} = 187.3 \text{ MPa}$$



پیمایش

تغییر شکل

کرنش برنشی

محوزه الاستیک

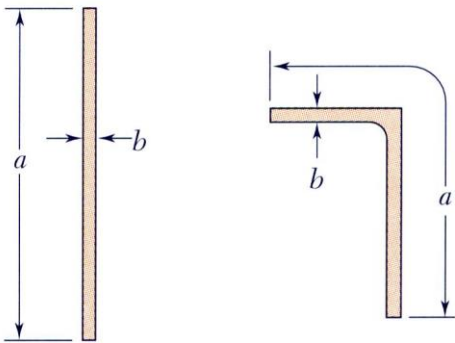
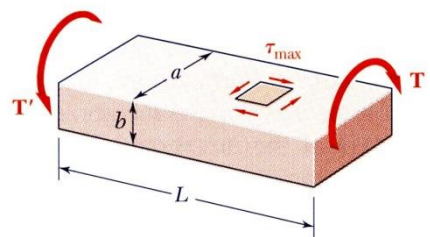
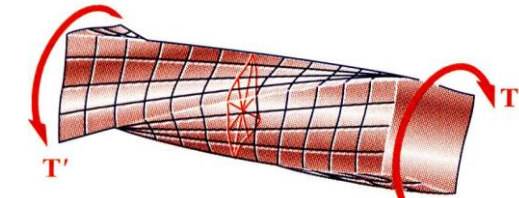
زاویه پیمایش

طراحی محدود

محوزه پلاستیک

مباهث تکمیلی

پیچش در اجسام غیر مدور



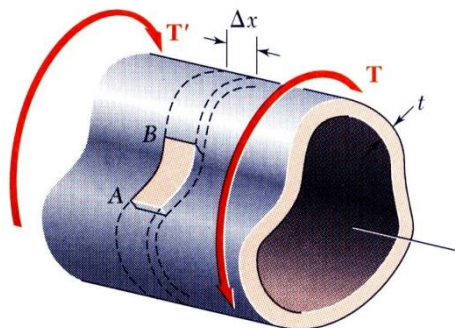
$$\tau_{\max} = \frac{T}{c_1 ab^2} \quad \phi = \frac{TL}{c_2 ab^3 G}$$

TABLE 3.1. Coefficients for Rectangular Bars in Torsion

a/b	c_1	c_2
1.0	0.208	0.1406
1.2	0.219	0.1661
1.5	0.231	0.1958
2.0	0.246	0.229
2.5	0.258	0.249
3.0	0.267	0.263
4.0	0.282	0.281
5.0	0.291	0.291
10.0	0.312	0.312
∞	0.333	0.333

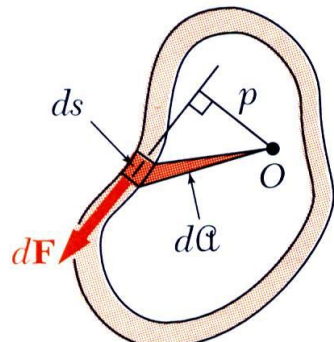


اجسام جدار نازک



$$\sum F_x = 0 = \tau_A(t_A \Delta x) - \tau_B(t_B \Delta x)$$

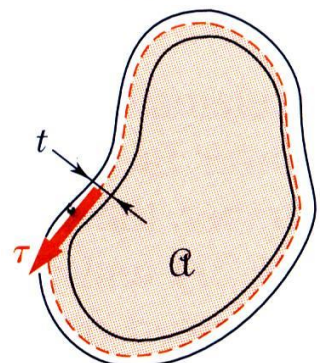
$$\tau_A t_A = \tau_B t_B = \tau t = q = \text{shear flow}$$



$$dM_0 = p dF = p \tau(t ds) = q(p ds) = 2q dA$$

$$T = \oint dM_0 = \oint 2q dA = 2qA$$

$$\tau = \frac{T}{2tA}$$



پیمش

تغییر شکل

گرنش برنشی

موزه الاستیک

زاویه پیمش

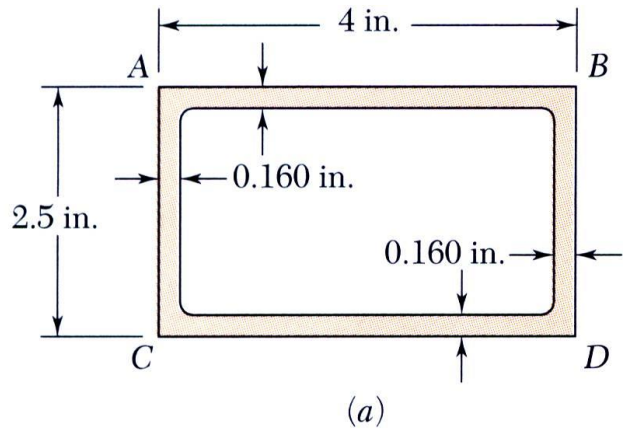
طرامی معمور

موزه پلاستیک

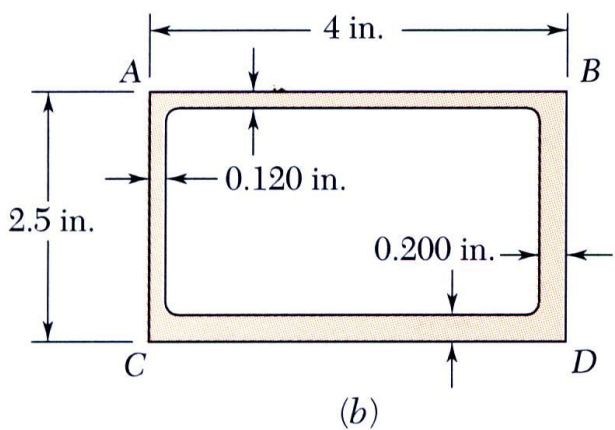
مباهث تکمیلی

Aluminum has a torque of 24 kip-in.

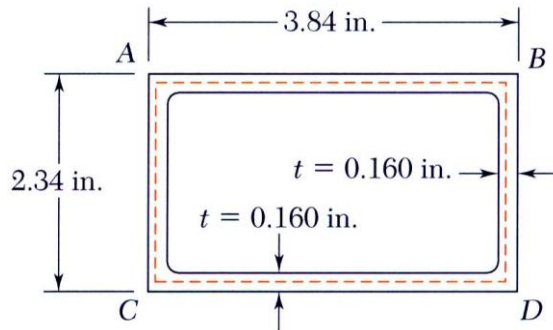
- (a) uniform wall thickness of 0.160 in.
- (b) AB & CD: .120 in. CD and BD: .200 in.



(a)



(b)



$$A = (3.84 \text{ in.})(2.34 \text{ in.}) = 8.986 \text{ in.}^2$$

$$q = \frac{T}{2A} = \frac{24 \text{ kip-in.}}{2(8.986 \text{ in.}^2)} = 1.335 \frac{\text{kip}}{\text{in.}}$$

$$\tau = \frac{q}{t} = \frac{1.335 \text{ kip/in.}}{0.160 \text{ in.}} = 8.34 \text{ ksi}$$

$$\tau_{AB} = \tau_{AC} = \frac{1.335 \text{ kip/in.}}{0.120 \text{ in.}} = 11.13 \text{ ksi}$$

$$\tau_{BD} = \tau_{CD} = \frac{1.335 \text{ kip/in.}}{0.200 \text{ in.}} = 6.68 \text{ ksi}$$



پیماس

تغییر شکل

کرنش برشی

موزه الستیک

زاویه پیماس

طراحی معمور

موزه پلاستیک

مباهث تکمیلی

هر که از خود فشنود بود

فشم گیرندگانش بسیارند.

امیر مؤمنان، امام علی علیه السلام